

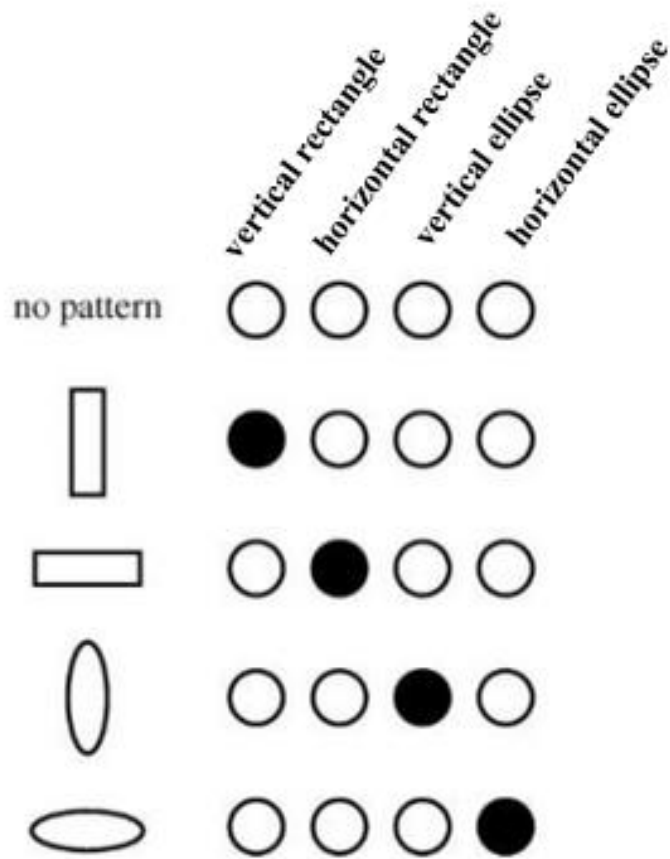
Redes neuronales

Introducción

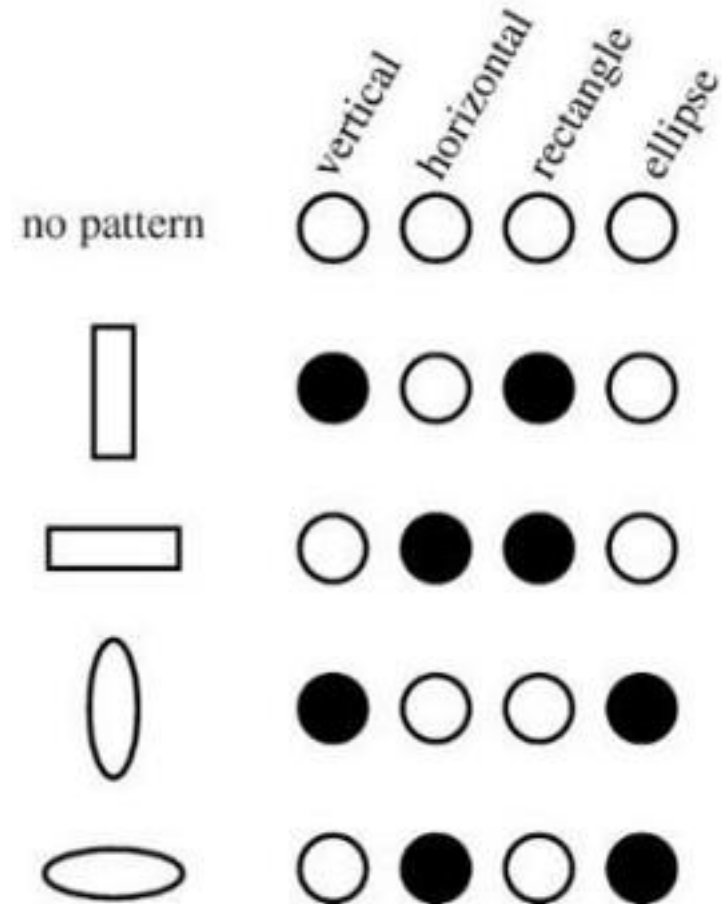
Diplomado de Minería de Datos



Representación distribuida

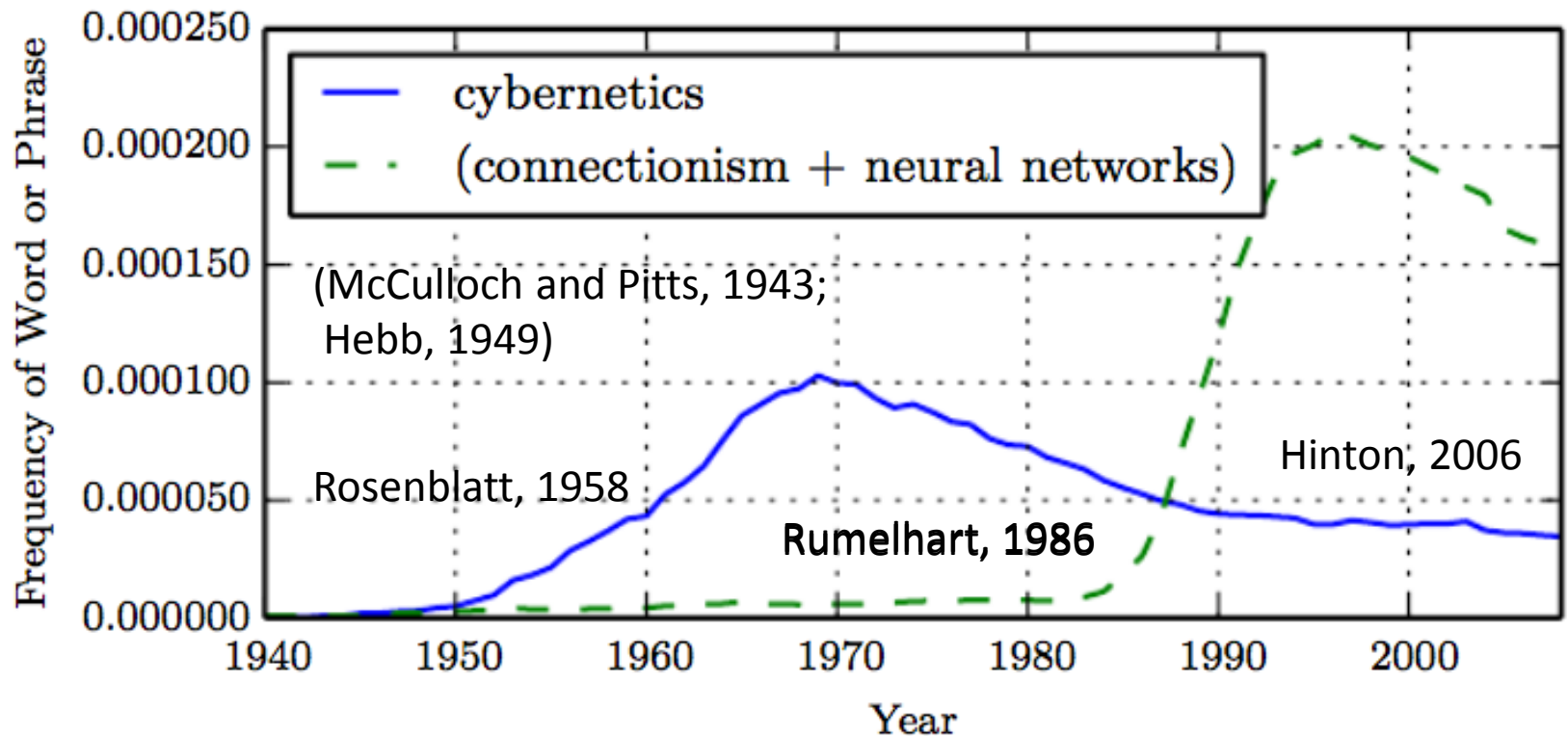


localista

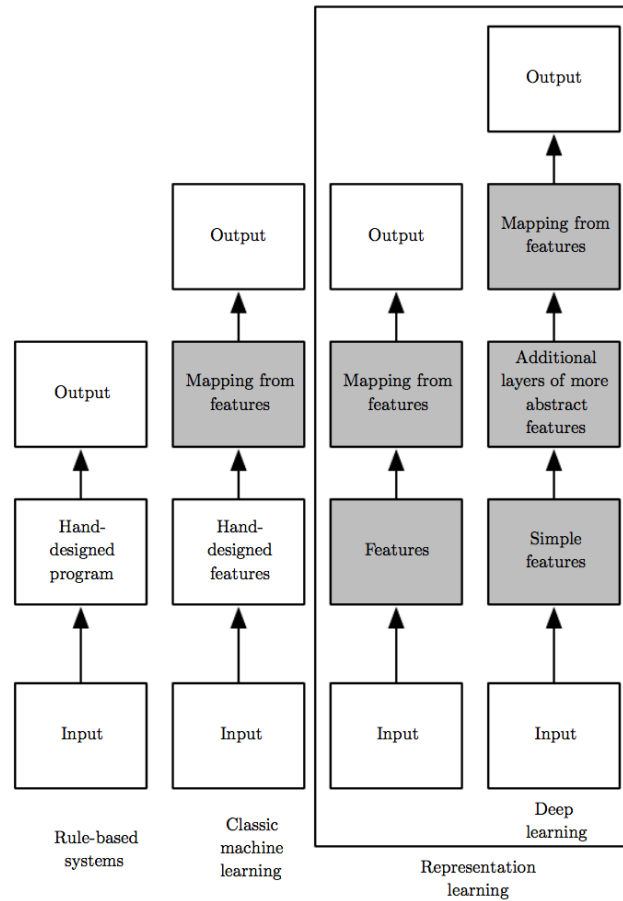


distribuida

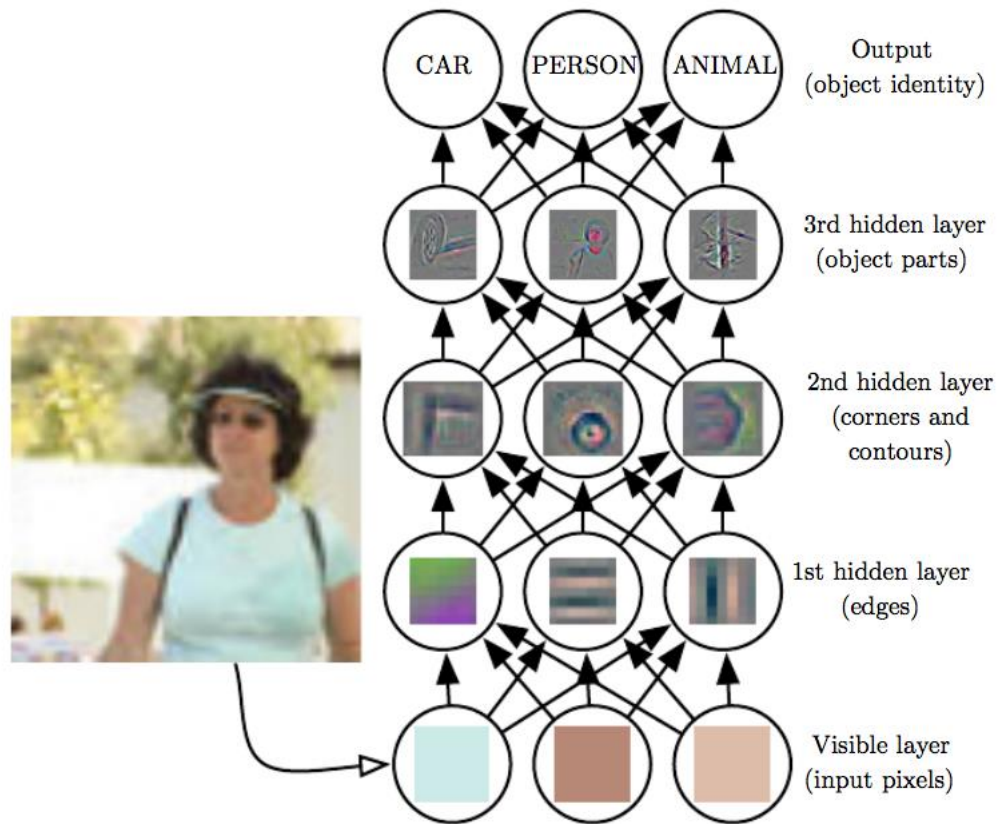
3 etapas en la investigación de RN



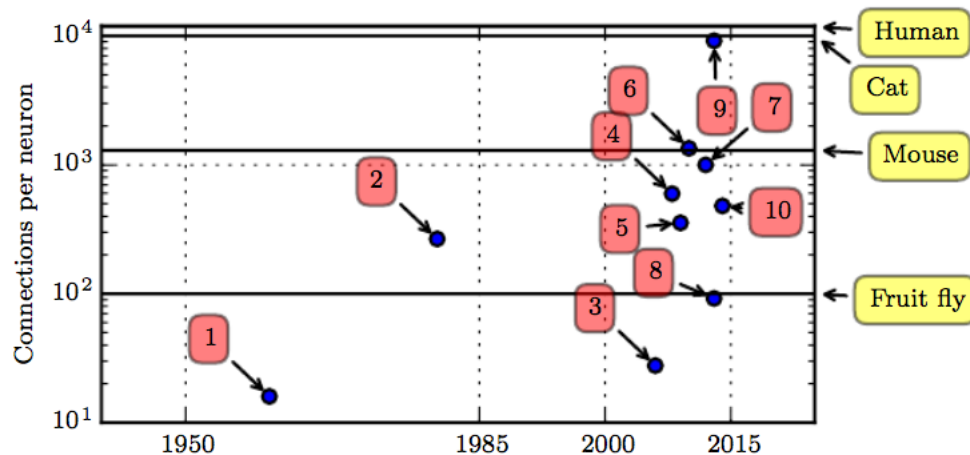
Disciplinas en inteligencia artificial



Deep learning



Número de conexiones en redes neuronales



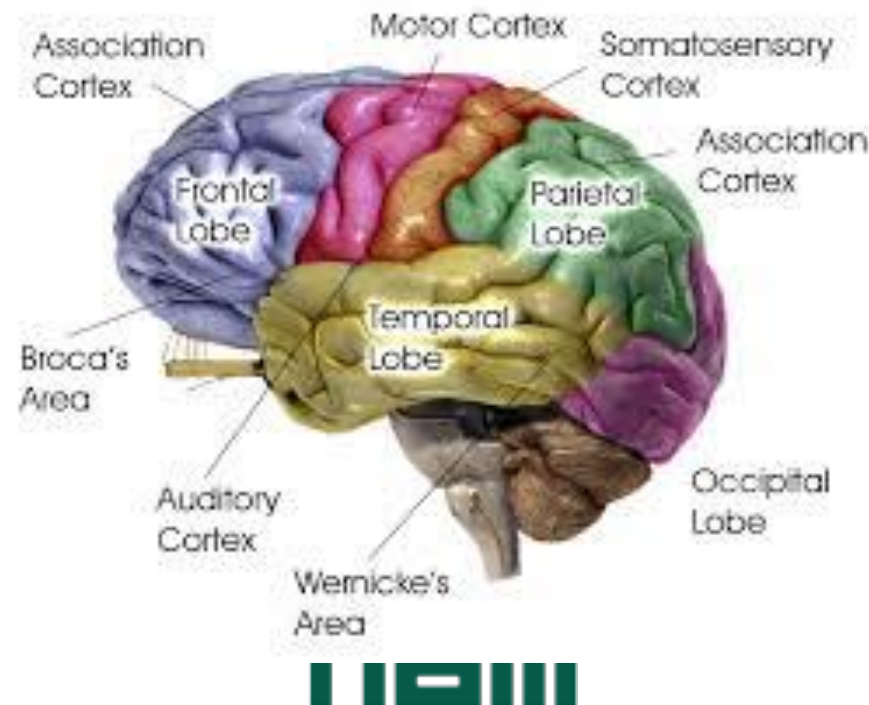
1. Adaptive linear element ([Widrow and Hoff, 1960](#))
2. Neocognitron ([Fukushima, 1980](#))
3. GPU-accelerated convolutional network ([Chellapilla et al., 2006](#))
4. Deep Boltzmann machine ([Salakhutdinov and Hinton, 2009a](#))
5. Unsupervised convolutional network ([Jarrett et al., 2009](#))
6. GPU-accelerated multilayer perceptron ([Ciresan et al., 2010](#))
7. Distributed autoencoder ([Le et al., 2012](#))
8. Multi-GPU convolutional network ([Krizhevsky et al., 2012](#))
9. COTS HPC unsupervised convolutional network ([Coates et al., 2013](#))
10. GoogLeNet ([Szegedy et al., 2014a](#))

Deep learning vs. RNA

- Los conjuntos de datos etiquetados eran miles de veces más pequeños
- Las computadoras eran millones de veces más lentas
- Inicialización de los pesos aleatoriamente (se sigue haciendo pero tiende a un proceso de inicialización no supervisado).
- Se utilizaba el tipo incorrecto de función de activación no lineal

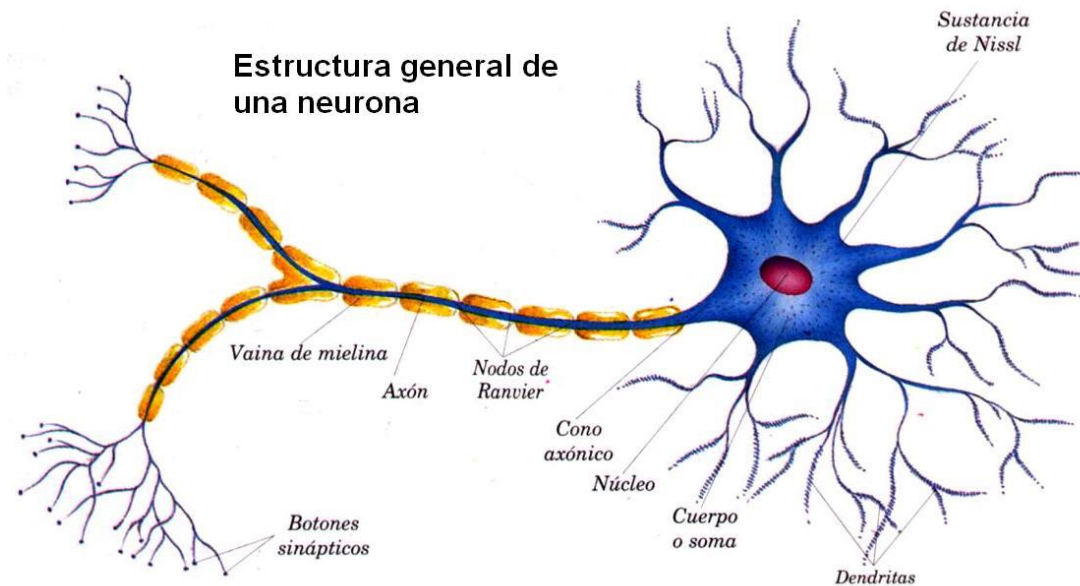
Ingeniería inversa

- Unos de los proyectos de ingeniería inversa más retadores es entender como funciona el cerebro



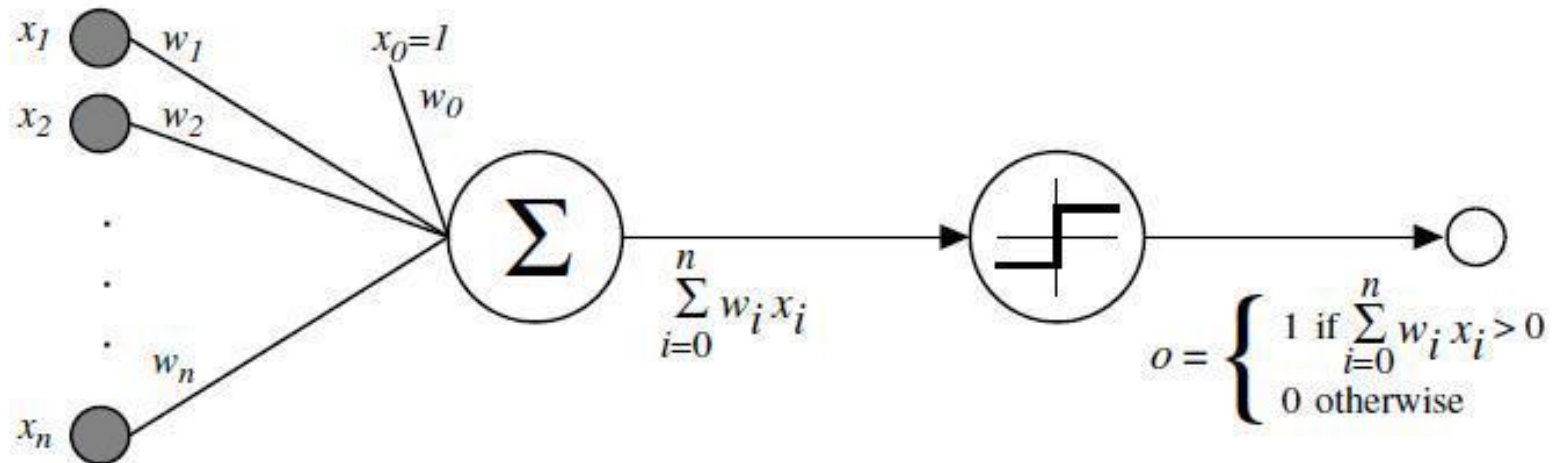
Neurona

- Las células básicas con las que procesa la información el cerebro son las neuronas
 - El cerebro humano tiene 81 mil millones de neuronas y 1.5×10^{14} sinapsis



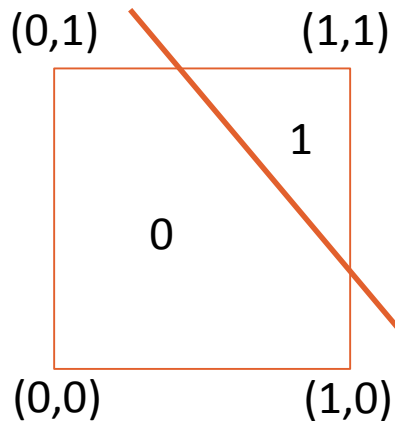
Redes neuronales

- Perceptrón

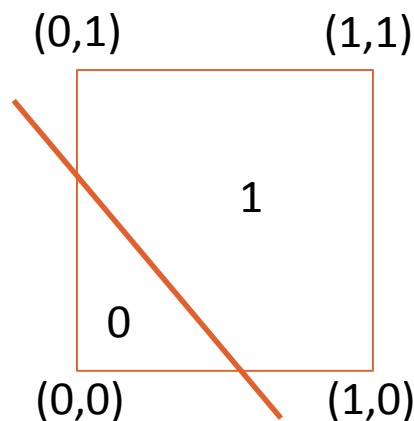


Clasificación

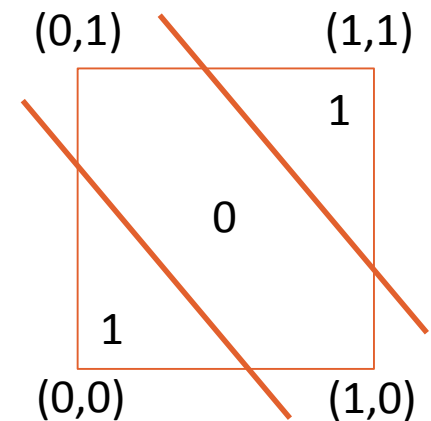
- Un problema tan simple como una operación XNOR no puede ser resuelto con un solo perceptrón.
 - Pero sí con varios de ellos



And



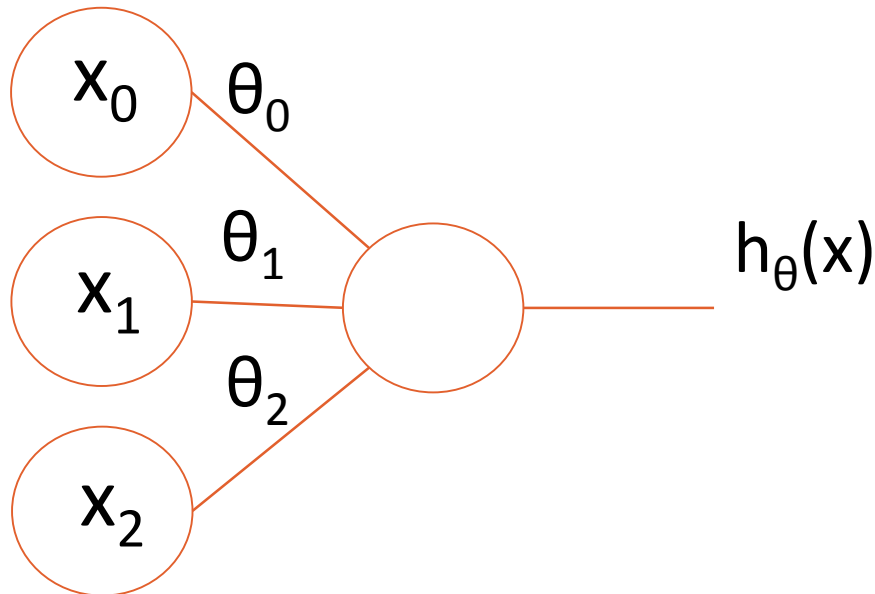
Or



Xnor

Modelo de neurona

$x_0 = 1$ (unidad de sesgo)

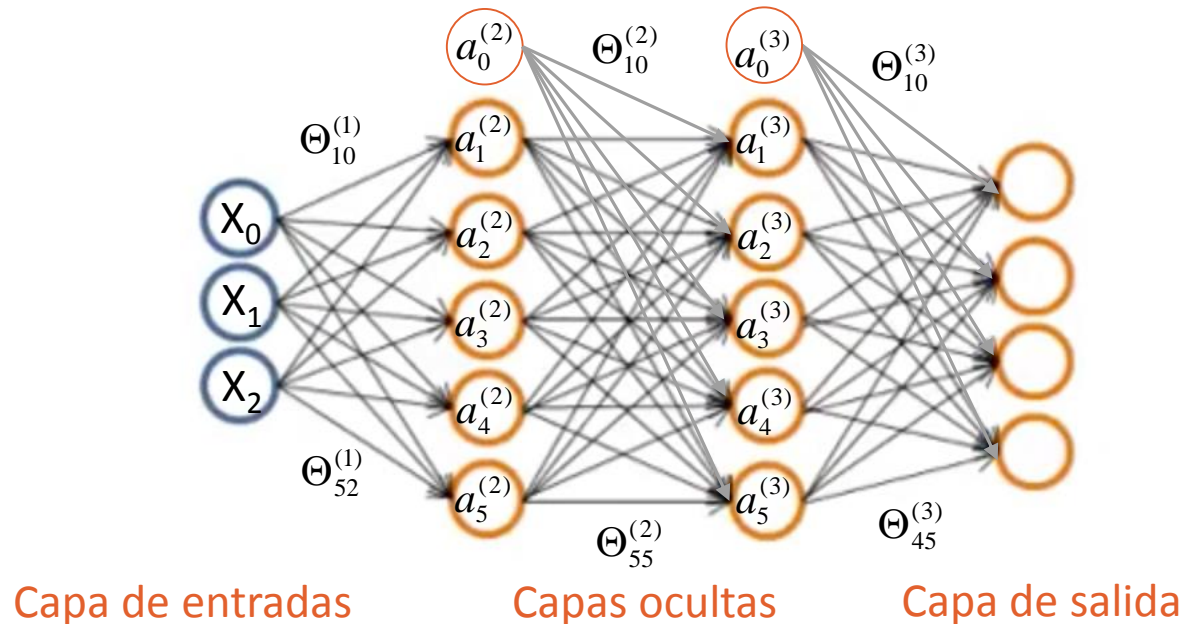


$$x = \begin{bmatrix} x_1 \\ x_2 \\ \dots \\ x_n \end{bmatrix} \quad \theta = \begin{bmatrix} \theta_1 \\ \theta_2 \\ \dots \\ \theta_n \end{bmatrix}$$

$$h_{\theta}(x) = \frac{1}{1 + e^{-\theta^T x}}$$

Función de activación
sigmoidea o logística

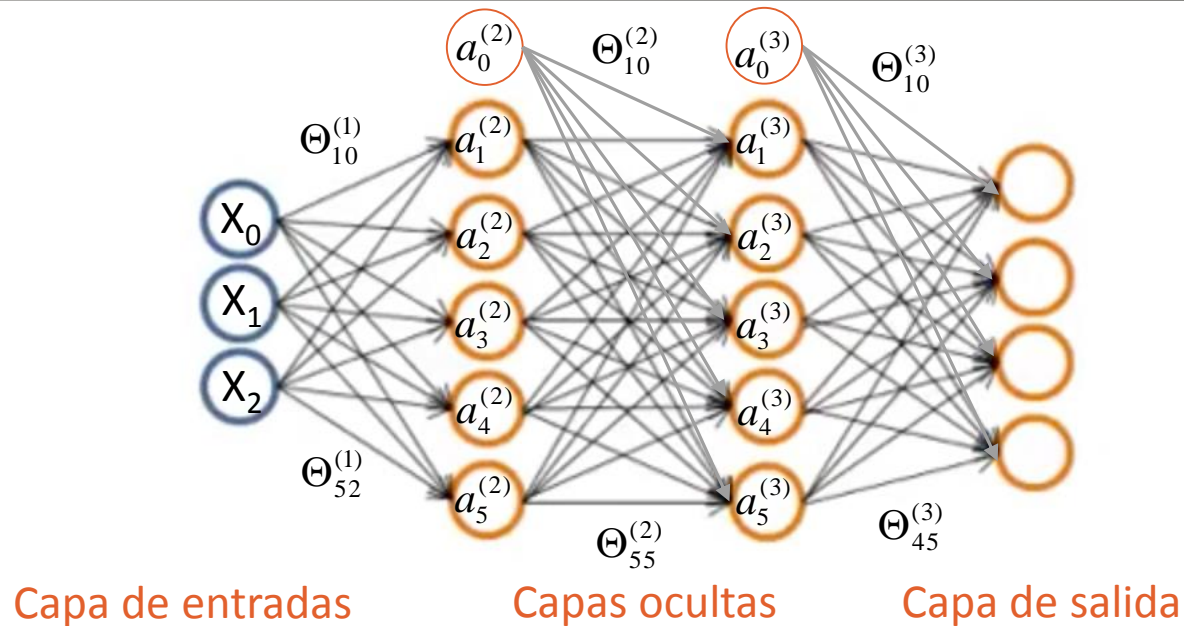
Redes neuronales



$a_i^{(j)}$ Unidad i de “activación” en la capa j

$\Theta^{(j)}$ Matriz de pesos controlando el mapeo de la función de la capa j a la $j+1$

Redes neuronales



$$a^{(1)} = x$$

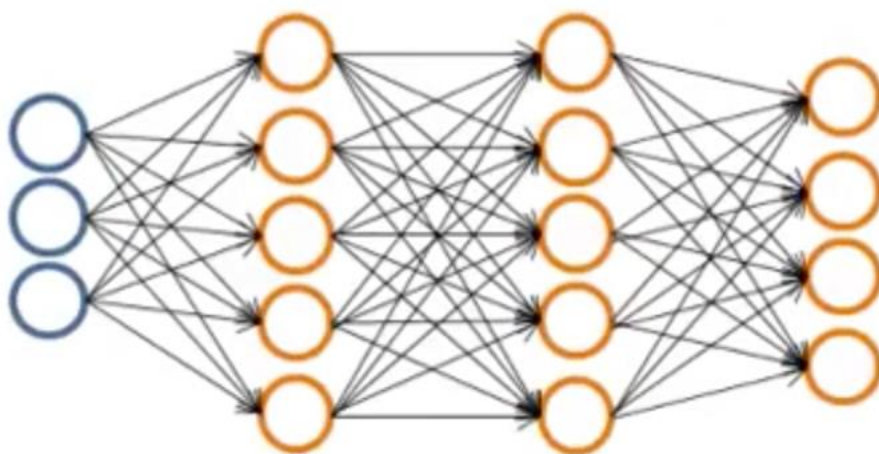
$$a^{(2)} = g(\Theta^{(1)} a^{(1)})$$

$$a^{(3)} = g(\Theta^{(2)} a^{(2)})$$

$$h_{\Theta}(x) = a^{(4)} = g(\Theta^{(3)} a^{(3)})$$

Clasificación multiclase

- Softmax



$$h_{\Theta}(x) \in \mathbb{R}^4$$

$$h_{\Theta}(x) \approx \begin{bmatrix} 1 \\ 0 \\ 0 \\ 0 \end{bmatrix}$$

Clase 1

$$h_{\Theta}(x) \approx \begin{bmatrix} 0 \\ 1 \\ 0 \\ 0 \end{bmatrix}$$

Clase 2

$$h_{\Theta}(x) \approx \begin{bmatrix} 0 \\ 0 \\ 1 \\ 0 \end{bmatrix}$$

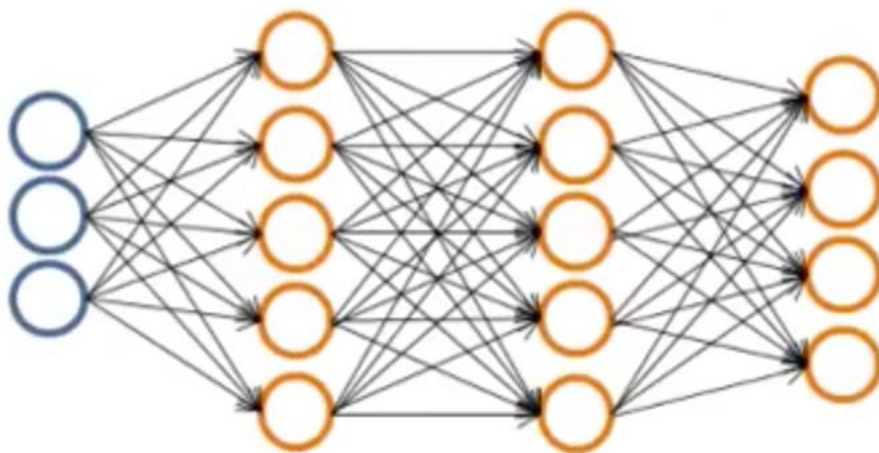
Clase 3

$$h_{\Theta}(x) \approx \begin{bmatrix} 0 \\ 0 \\ 0 \\ 1 \end{bmatrix}$$

Clase 4

Clasificación multiclase

- Softmax

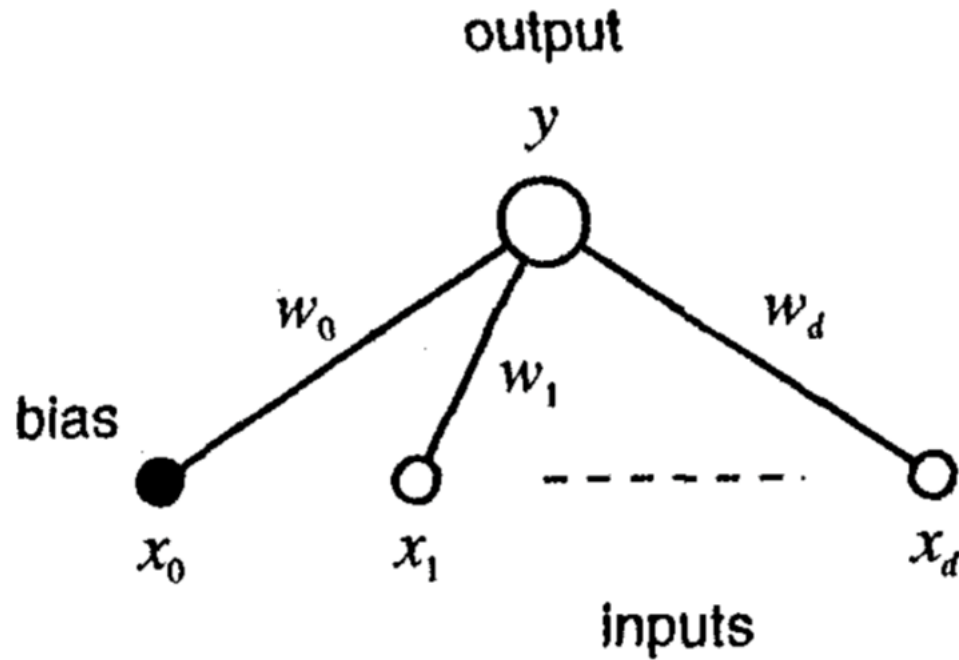


$$h_{\Theta}(x) \in \mathbb{R}^4$$

$$\sigma(x^T w)_j = P(y = j | x) = \frac{e^{x^T w_j}}{\sum_{i=1}^K e^{x^T w_i}} \quad \text{for } j = 1, \dots, K$$

$$\frac{\partial \mathcal{E}^n}{\partial a_k} = y_k - t_k$$

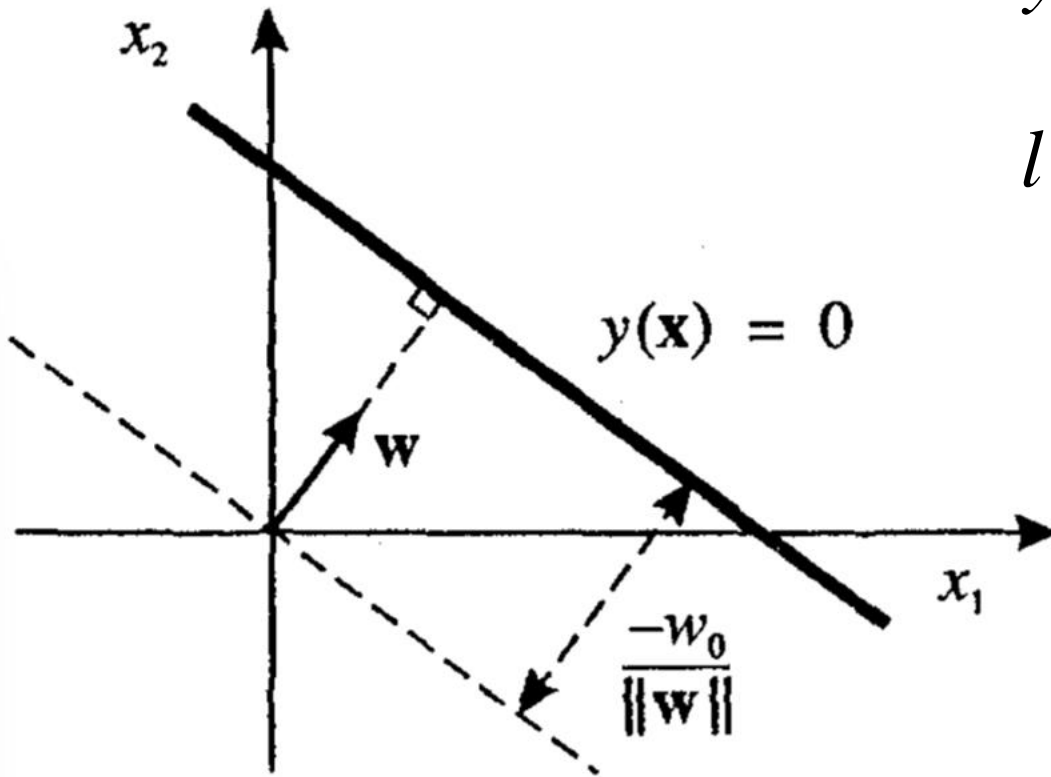
Redes de una capa



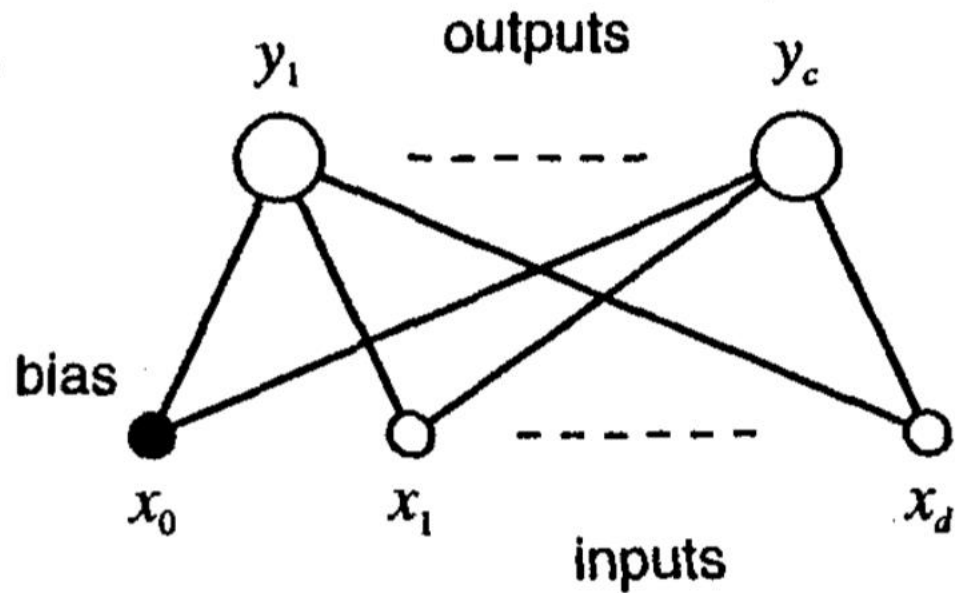
Redes de una capa

$$y(x) = w^T x + w_0$$

$$l = \frac{w^T x}{\|w\|} = -\frac{w_0}{\|w\|}$$

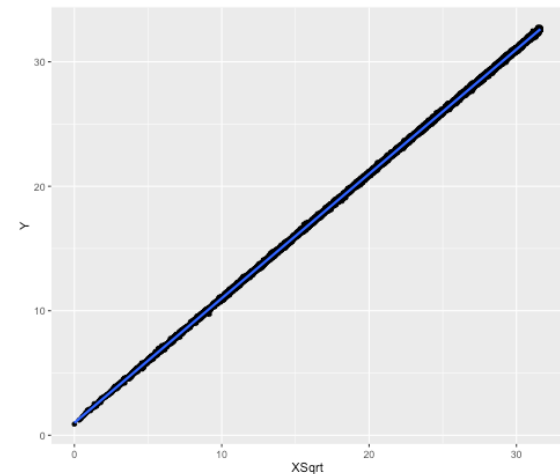
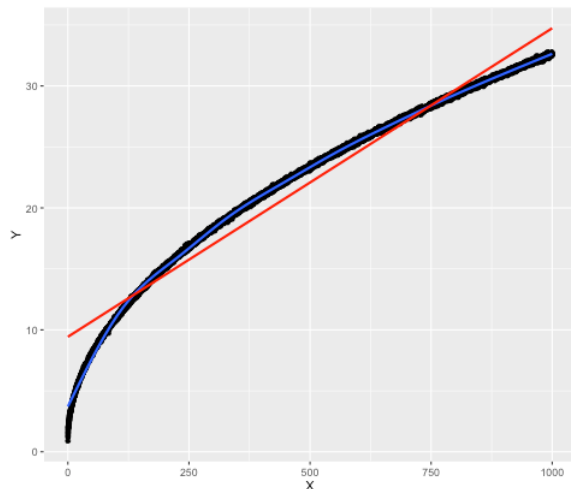


Redes de una capa



Discriminante lineal generalizado

$$h_{k\theta}(x) = \sum_{j=0}^n w_{kj} \phi_j(x)$$



Perceptrón

- Algoritmo de aprendizaje

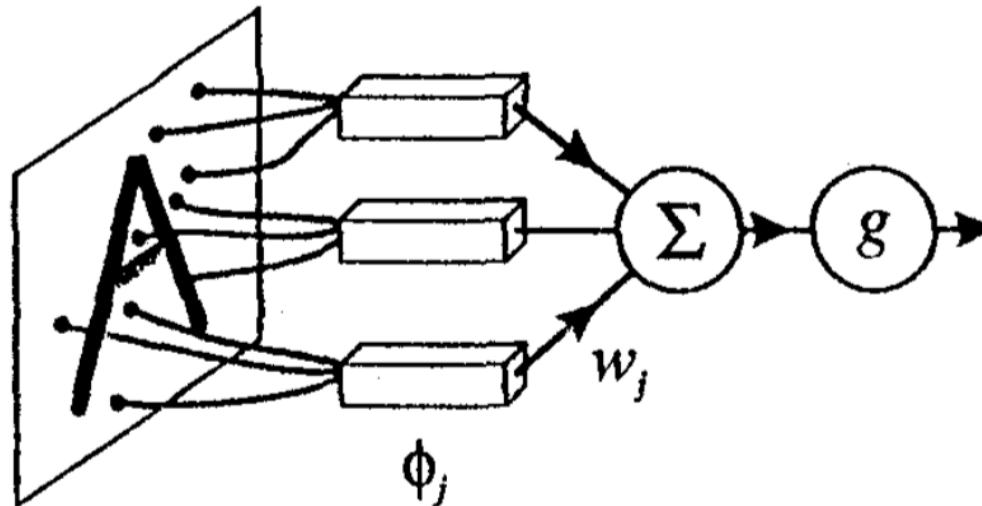
Repetir hasta que converja {
for i=0 to m {

$$\frac{1}{m} \sum_{i=1}^m |y^{(i)} - g(\theta^T x^{(i)})|$$

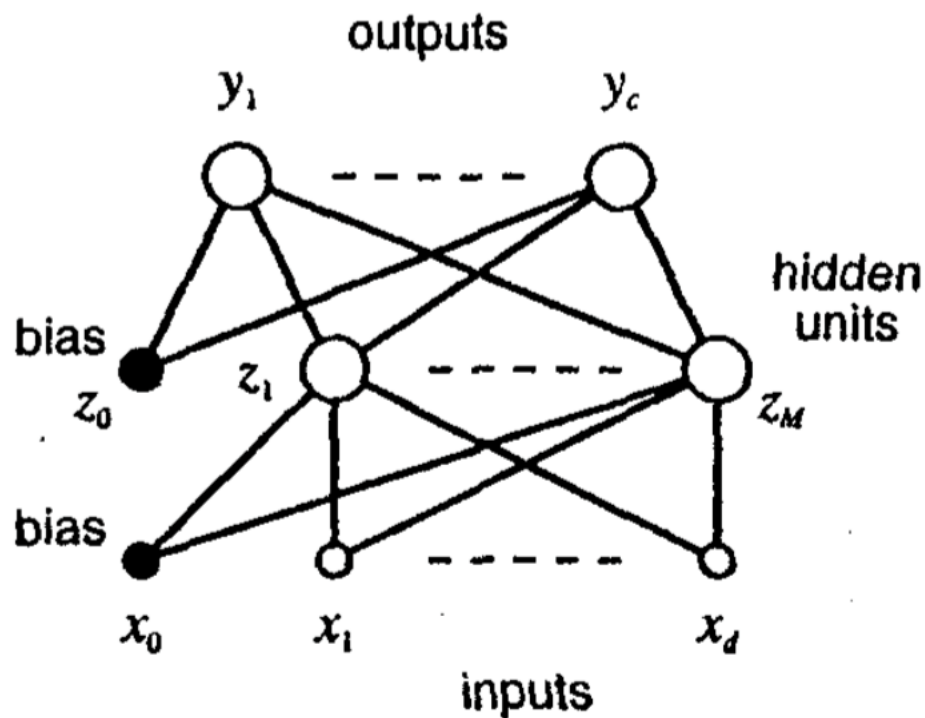
$\theta_j := \theta_j + (y^{(i)} - g(\theta^T x^{(i)})) \cdot x_j^{(i)}$ Para j=0 hasta n

}

}



Redes de múltiples capas



Redes de múltiples capas

$$a_j = \sum_{i=0}^d w_{ji}^{(1)} x_i.$$

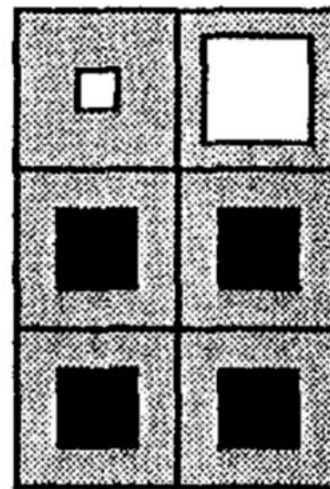
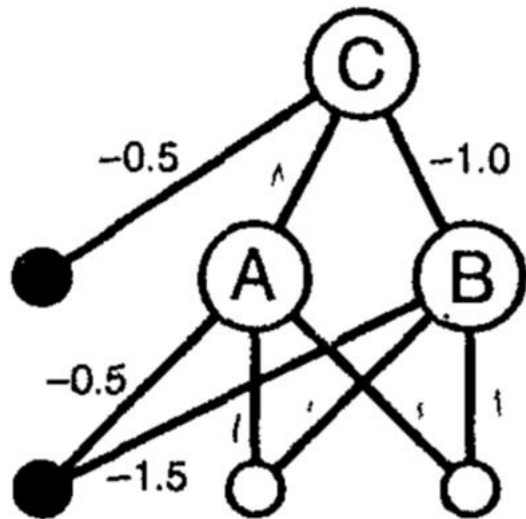
$$z_j = g(a_j).$$

$$a_k = \sum_{j=0}^M w_{kj}^{(2)} z_j$$

$$y_k = \tilde{g}(a_k).$$

$$y_k = \tilde{g} \left(\sum_{j=0}^M w_{kj}^{(2)} g \left(\sum_{i=0}^d w_{ji}^{(1)} x_i \right) \right).$$

Redes de múltiples capas



A



B



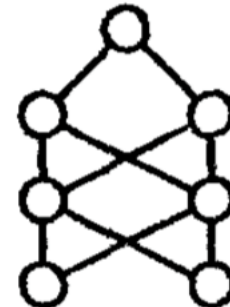
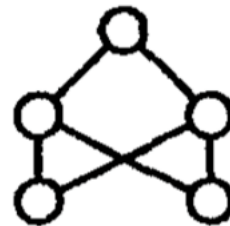
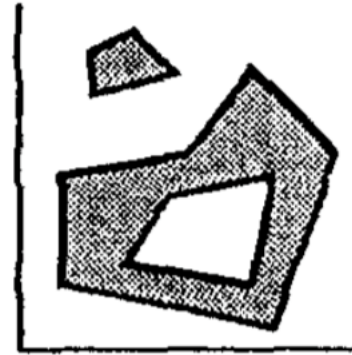
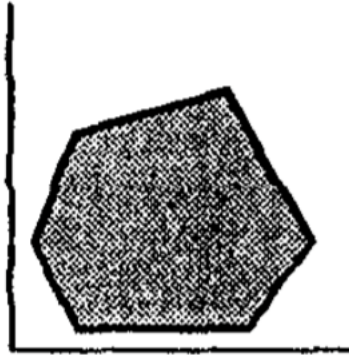
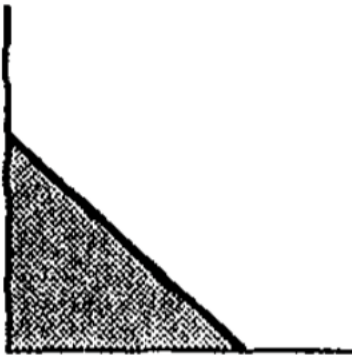
C

biases

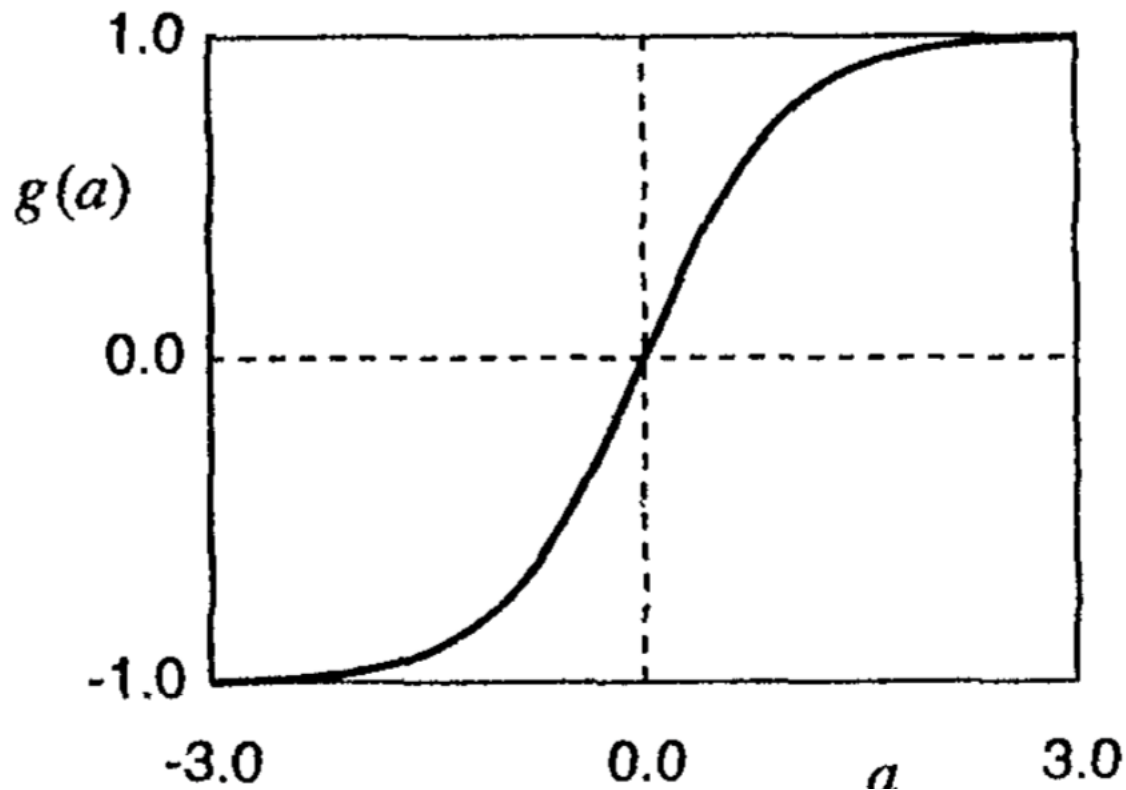
weights

weights

Redes de múltiples capas



Redes de múltiples capas



$$g(a) \equiv \tanh(a) \equiv \frac{e^a - e^{-a}}{e^a + e^{-a}}$$

Descenso por gradiente (incremental)

- Algoritmo de descenso por gradiente para regresión lineal

Repetir hasta que converja {

for i=1 to m {

$$\theta_j := \theta_j - \alpha \cdot (h_{\theta}(x^{(i)}) - y^{(i)}) \cdot x_j^{(i)} \quad \text{Para } j=0 \text{ hasta } n$$

}

}

Back propagation

$$a_j = \sum_i w_{ji} z_i$$

$$\frac{\partial a_j}{\partial w_{ji}} = z_i.$$

$$E = \sum_n E^n \quad \text{n datos de entrenamiento}$$

$$\frac{\partial E^n}{\partial w_{ji}} = \delta_j z_i.$$

$$E^n = E^n(y_1, \dots, y_c).$$

$$\delta_k \equiv \frac{\partial E^n}{\partial a_k} = g'(a_k) \frac{\partial E^n}{\partial y_k}$$

Usando la regla de la cadena

$$\frac{\partial E^n}{\partial w_{ji}} = \frac{\partial E^n}{\partial a_j} \frac{\partial a_j}{\partial w_{ji}}.$$

Usando la regla de la cadena

$$\delta_j \equiv \frac{\partial E^n}{\partial a_j} = \sum_k \frac{\partial E^n}{\partial a_k} \frac{\partial a_k}{\partial a_j}$$

$$\delta_j \equiv \frac{\partial E^n}{\partial a_j}$$

Inicialización de pesos

- Hallazgos empíricos indican que para funciones de activación logística o tangente hiperbólica, se obtienen tasas mas bajas de error y menor tiempo de convergencia si los pesos se inicializan de la siguiente forma:

$$W \sim U \left[-\frac{\sqrt{6}}{n^{(l)} + n^{(l+1)}}, \frac{\sqrt{6}}{n^{(l)} + n^{(l+1)}} \right]$$

$n^{(l)}$ número de entradas hacia W

$n^{(l+1)}$ número de salidas desde W

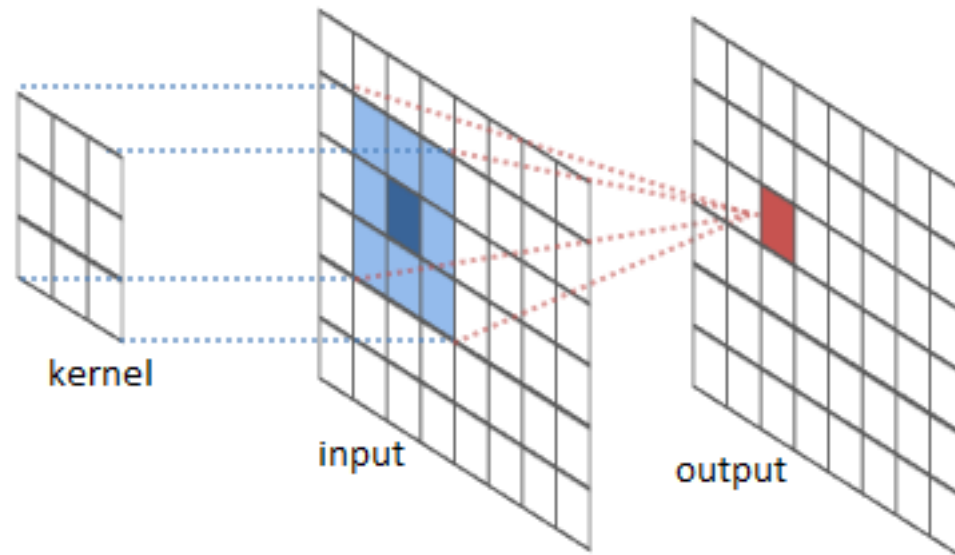
Redes neuronales convolucionales

- La convolución es una integral que expresa la cantidad de superposición de una función g mientras se desplaza sobre otra función f .
 - Por lo tanto, "mezcla" una función con otra.

$$(f * g)(t) = \int_{-\infty}^{\infty} f(\tau)g(t - \tau)d\tau$$

Redes neuronales convolucionales

- Podemos pensar que las imágenes son funciones bidimensionales
 - Varias transformaciones de imágenes son convoluciones de una imagen con un kernel

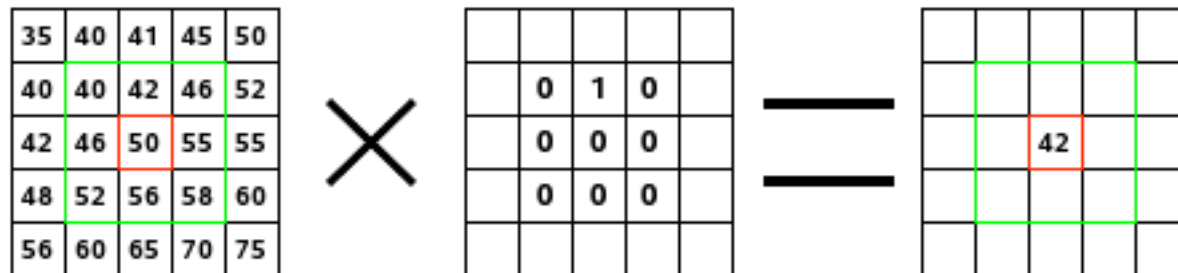


Redes neuronales convolucionales

- Un ejemplo simple:

$$(40*0)+(42*1)+(46*0) + (46*0)+(50*0)+(55*0) + (52*0)+(56*0)+(58*0) = 42$$

– Sólo movió el pixel superior un reglón abajo



Redes neuronales convolucionales

- Difuminar (promediando pixeles)

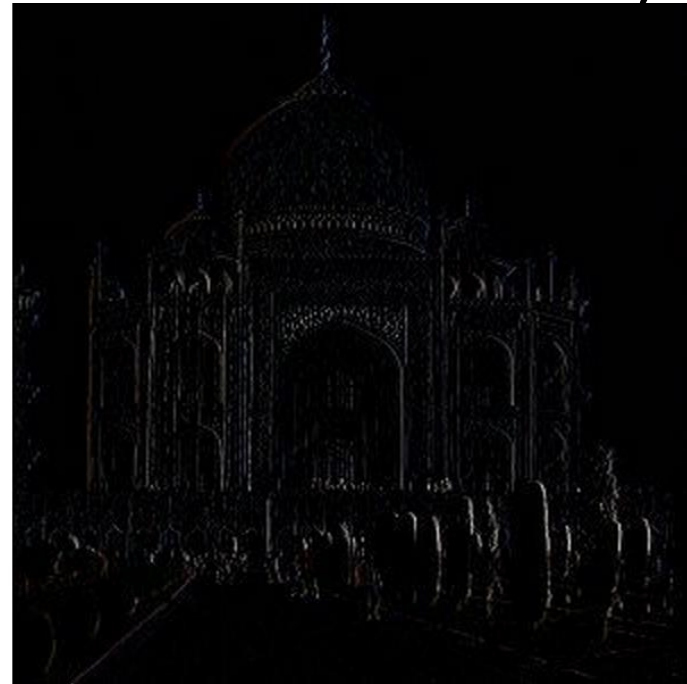
0	0	0	0	0
0	1/9	1/9	1/9	0
0	1/9	1/9	1/9	0
0	1/9	1/9	1/9	0
0	0	0	0	0



Redes neuronales convolucionales

- Detección de bordes (llevando a valores cercanos a cero pixels vecinos similares)

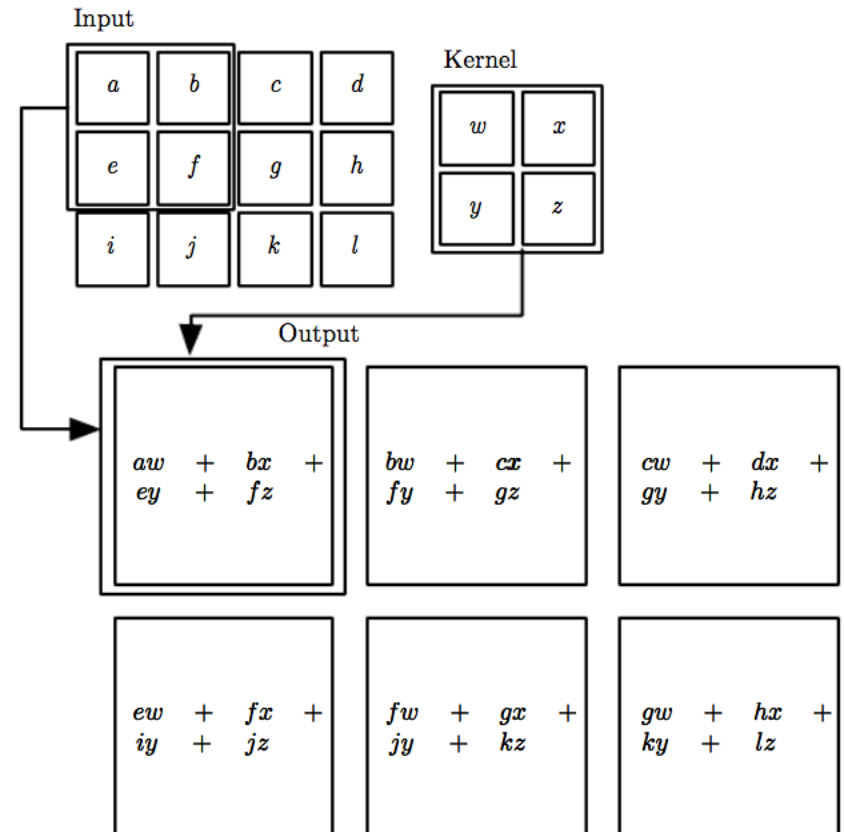
0	0	0	0	0
0	0	0	0	0
0	-1	1	0	0
0	0	0	0	0
0	0	0	0	0



Redes neuronales convolucionales

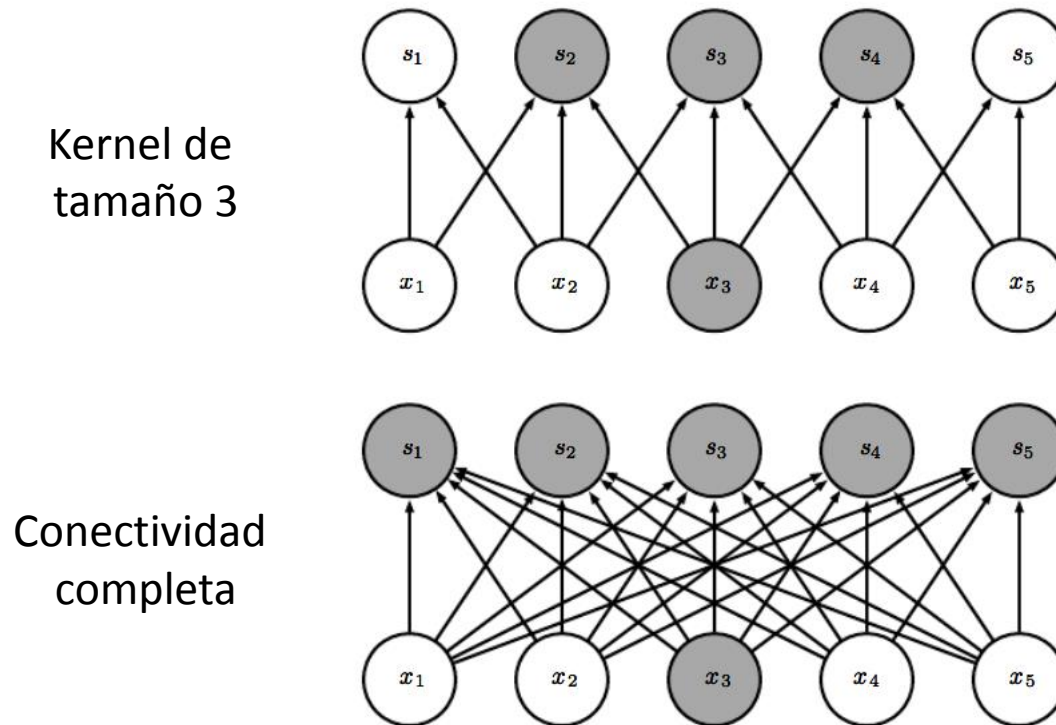
- Correlación cruzada

$$(I * K)(i, j) = \sum_m \sum_n I(i + m, j + n) K(m, n)$$



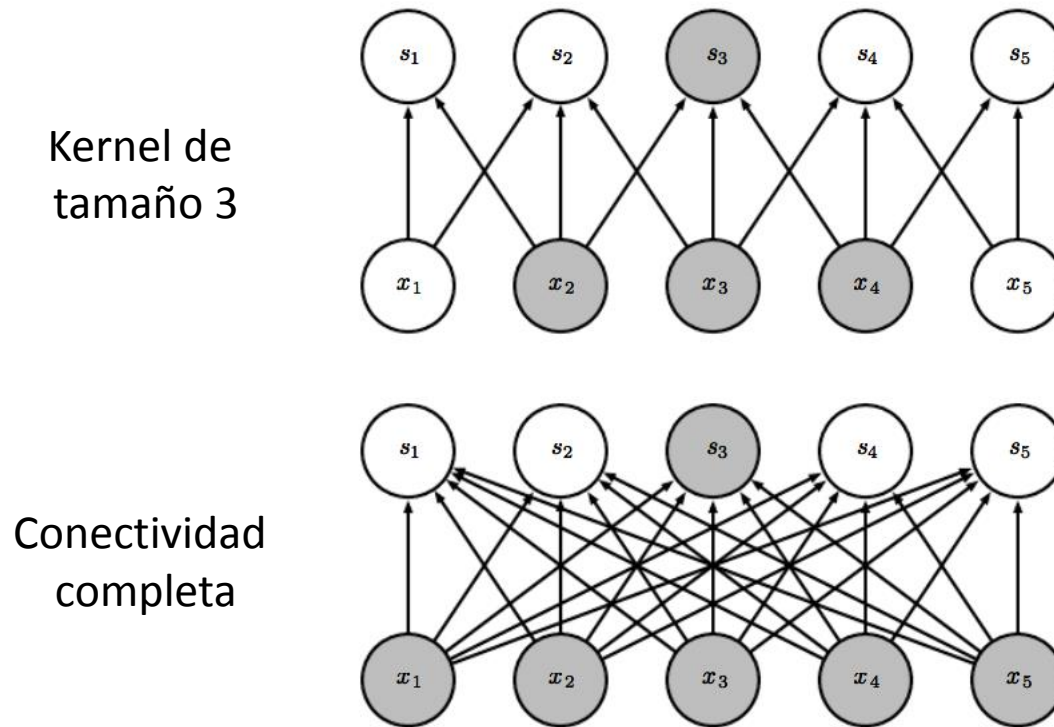
Redes neuronales convolucionales

- Conectividad poco densa (vista desde la capa inferior)



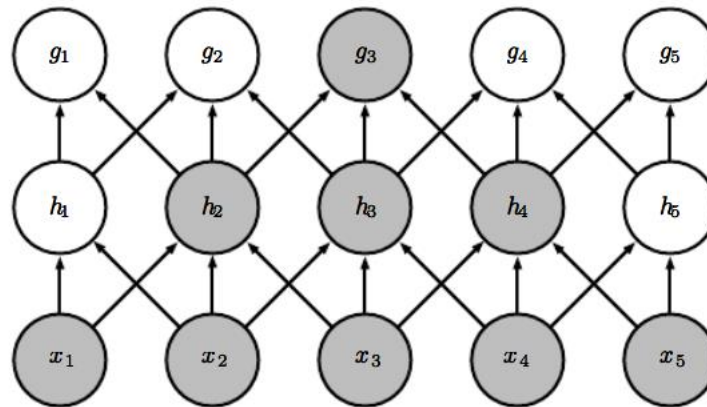
Redes neuronales convolucionales

- Conectividad poco densa (vista desde la capa superior)



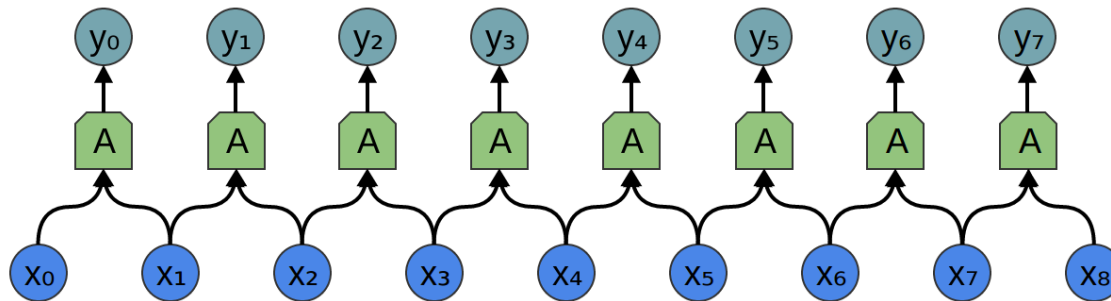
Redes neuronales convolucionales

- Neuronas de las capas más profundas están conectadas a un mayor número de entradas indirectamente.



Redes neuronales convolucionales

- En su forma más básica son una especie de red neuronal que utiliza muchas copias idénticas de la misma neurona.
 - Esto permite que la red tenga muchas neuronas y mantener un número bastante pequeño de parámetros que deben ser aprendidos.

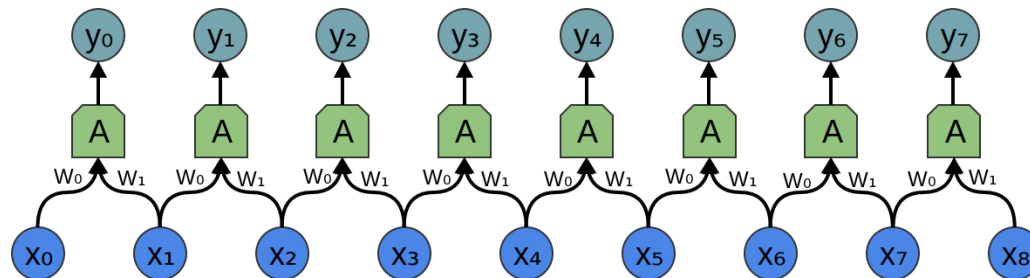


Redes neuronales convolucionales

- Como hay múltiples copias de la misma neurona, los mismos pesos aparecen en múltiples posiciones:

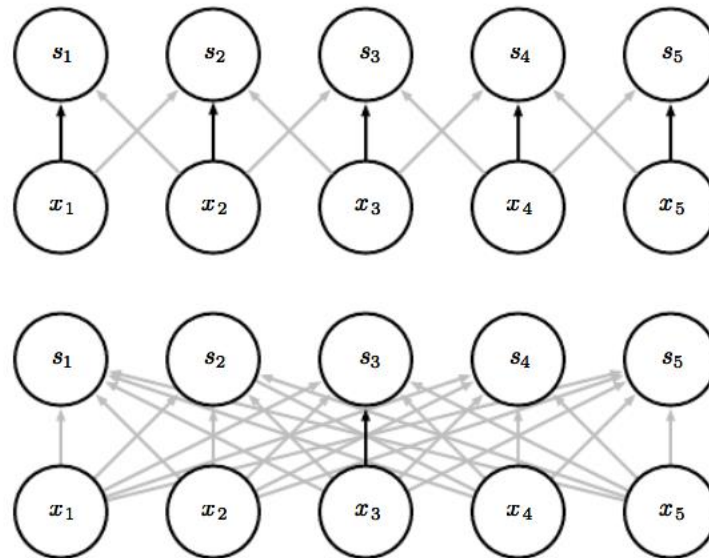
$$y_0 = \sigma(W_0x_0 + W_1x_1 - b)$$

$$y_1 = \sigma(W_0x_1 + W_1x_2 - b)$$



Redes neuronales convolucionales

- Parámetros compartidos



Da a lugar a equivarianza a la translación
(si la entrada cambia, la salida cambia de la misma forma)

Redes neuronales convolucionales

- En vez de tener matrices de pesos que conecten un vector de entrada con todos las neuronas de la siguiente capa:

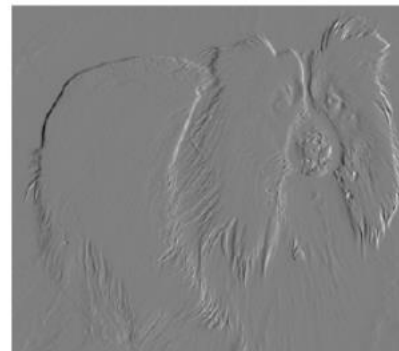
$$W = \begin{bmatrix} W_{0,0} & W_{0,1} & W_{0,2} & W_{0,3} & \dots \\ W_{1,0} & W_{1,1} & W_{1,2} & W_{1,3} & \dots \\ W_{2,0} & W_{2,1} & W_{2,2} & W_{2,3} & \dots \\ W_{3,0} & W_{3,1} & W_{3,2} & W_{3,3} & \dots \\ \dots & \dots & \dots & \dots & \dots \end{bmatrix}$$

- Tenemos:

$$W = \begin{bmatrix} w_0 & w_1 & 0 & 0 & \dots \\ 0 & w_0 & w_1 & 0 & \dots \\ 0 & 0 & w_0 & w_1 & \dots \\ 0 & 0 & 0 & w_0 & \dots \\ \dots & \dots & \dots & \dots & \dots \end{bmatrix}$$

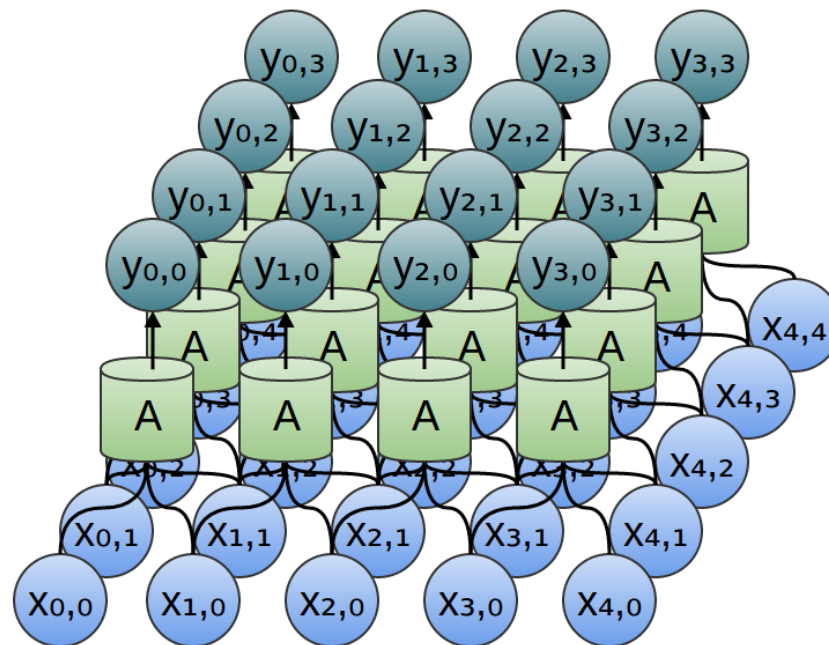
Redes neuronales convolucionales

- Esto permite obtener filtros de forma muy eficiente:
 - Convolución: ancho x largo x 3 opf
 - Multiplicación de matrices: ancho x largo x largo x ancho opf



Redes neuronales convolucionales

- Para procesamiento de imagen usamos una capa convolucional de 2 dimensiones



Redes neuronales convolucionales

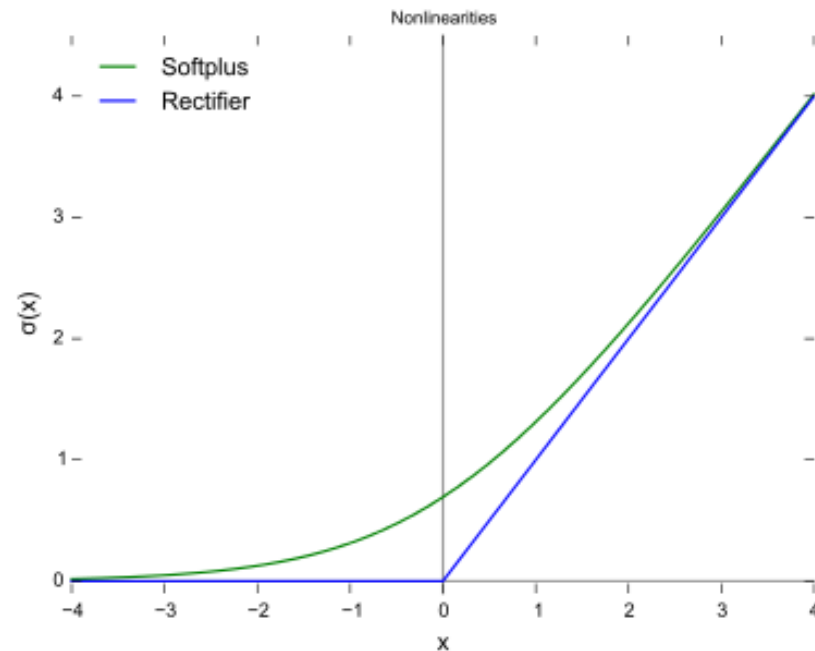
- Unidad lineal rectificada (ReLU)

Rampa

$$f(x) = \max(0, x)$$

Softplus

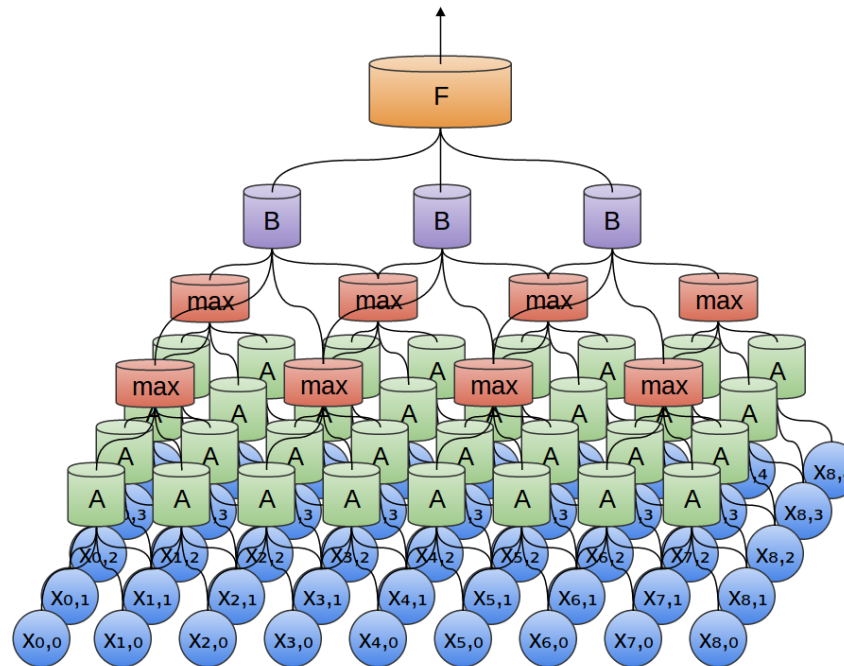
$$f(x) = \ln(1 + e^x)$$



Redes neuronales convolucionales

- Reducción de resolución mediante max-pooling para resumir características sobre una región

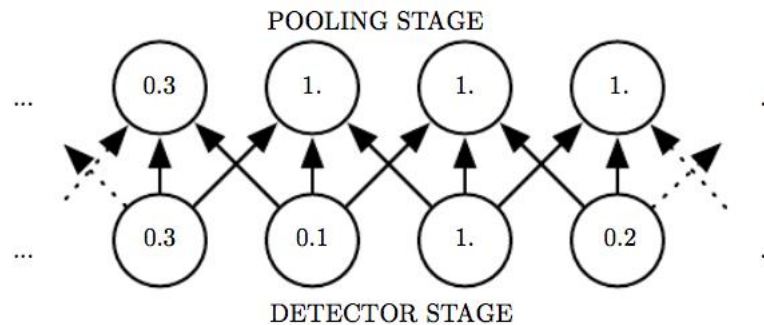
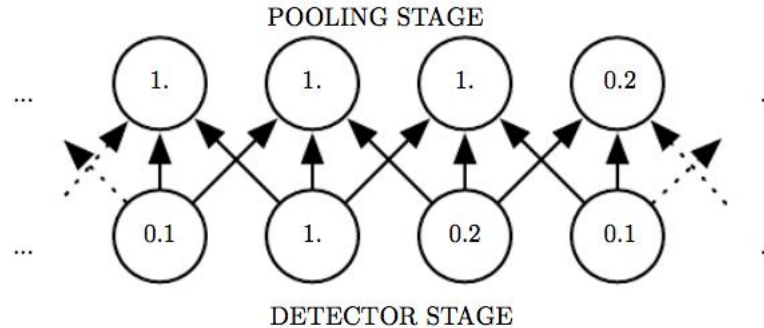
Es más importante conocer si se dio una característica que justo el lugar en donde se dio



Hace la arquitectura más tolerante a pequeñas translaciones

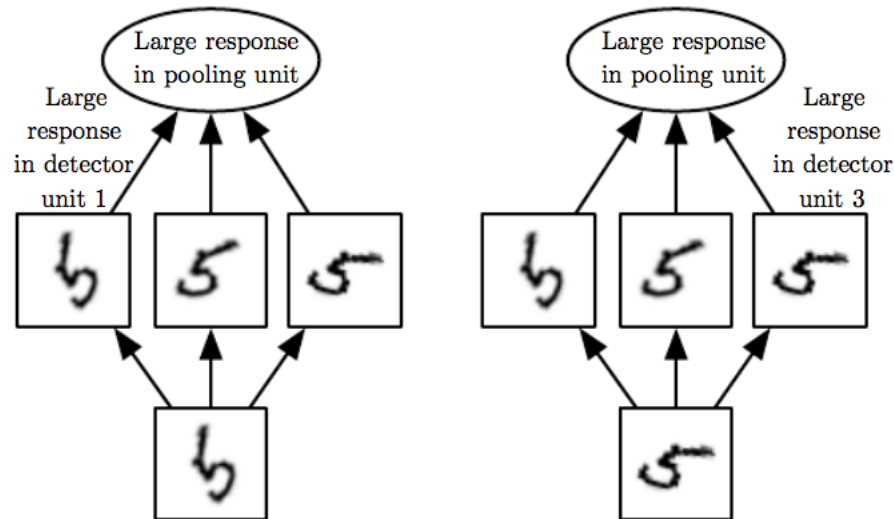
Redes neuronales convolucionales

- Tolerancia a la translación



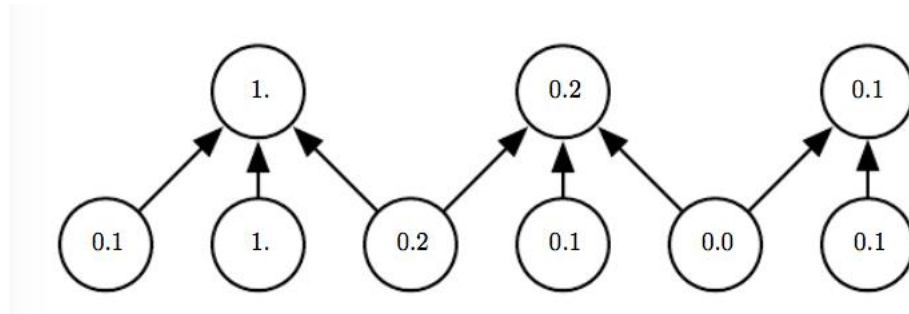
Redes neuronales convolucionales

- Invarianzas aprendidas



Redes neuronales convolucionales

- Reducción de la resolución

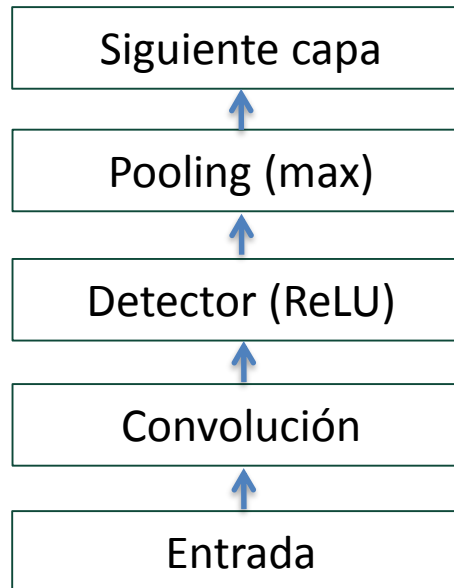


Kernel = 3

Paso entre unidades pooling (Stride) = 2

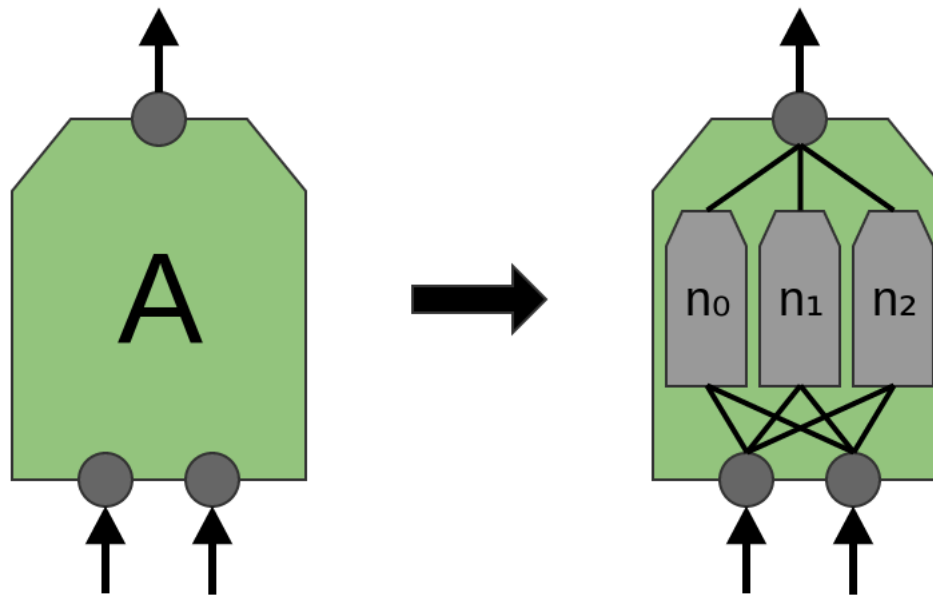
Redes neuronales convolucionales

- Arquitectura común



Redes neuronales convolucionales

- Normalmente A es una serie de neuronas en paralelo en donde todas tienen las mismas entradas y obtienen diferentes características



Kaggle

kaggle

Host

Competitions

Datasets

Kernels

Jobs

Community ▾

JuanMármolYahya

Logout

9665407401
3134727121
1742351244

Knowledge • 1,151 teams


Digit Recognizer

Wed 25 Jul 2012

Sat 31 Dec 2016 (3 months to go)

Dashboard

Home 

Data 

Make a submission 

Information 

Description

Evaluation

Rules

Tutorial

Forum 

Kernels 

[Competition Details](#) » [Get the Data](#) » [Make a submission](#)

Data Files

File Name	Available Formats
train	.csv (73.22 mb)
test	.csv (48.75 mb)
sample_submission	.csv (235.26 kb)

ITAM

Redes neuronales recurrentes

- Son una familia de redes neuronales que procesan datos secuenciales
- Al igual que las redes convolucionales tienen parámetros compartidos lo que les permite generalizar:
 - distintos tamaños de secuencia
 - posiciones distintas de la secuencia

Redes neuronales recurrentes

- Son una familia de redes neuronales que procesan datos secuenciales
- Al igual que las redes convolucionales tienen parámetros compartidos lo que les permite generalizar:
 - distintos tamaños de secuencia
 - posiciones distintas de la secuencia

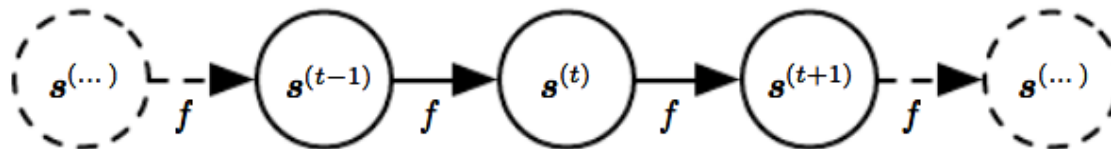
Redes neuronales recurrentes

- Grafo computacional del despliegue del sistema dinámico:

$$\mathbf{s}^{(t)} = f(\mathbf{s}^{(t-1)}; \boldsymbol{\theta})$$

Para $\tau = 3$

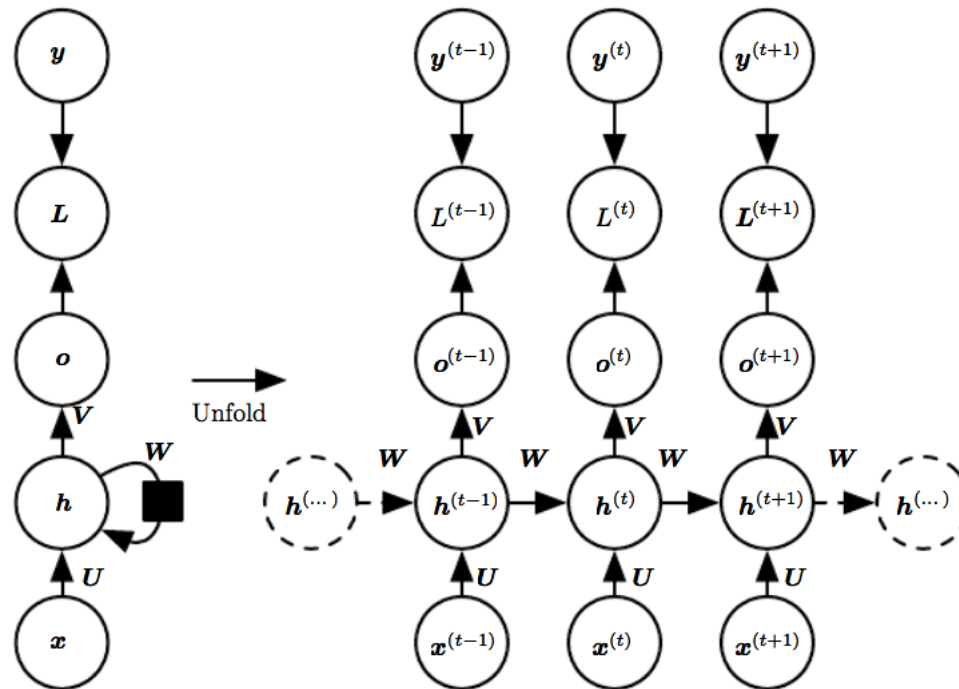
$$\begin{aligned}\mathbf{s}^{(3)} &= f(\mathbf{s}^{(2)}; \boldsymbol{\theta}) \\ &= f(f(\mathbf{s}^{(1)}; \boldsymbol{\theta}); \boldsymbol{\theta})\end{aligned}$$



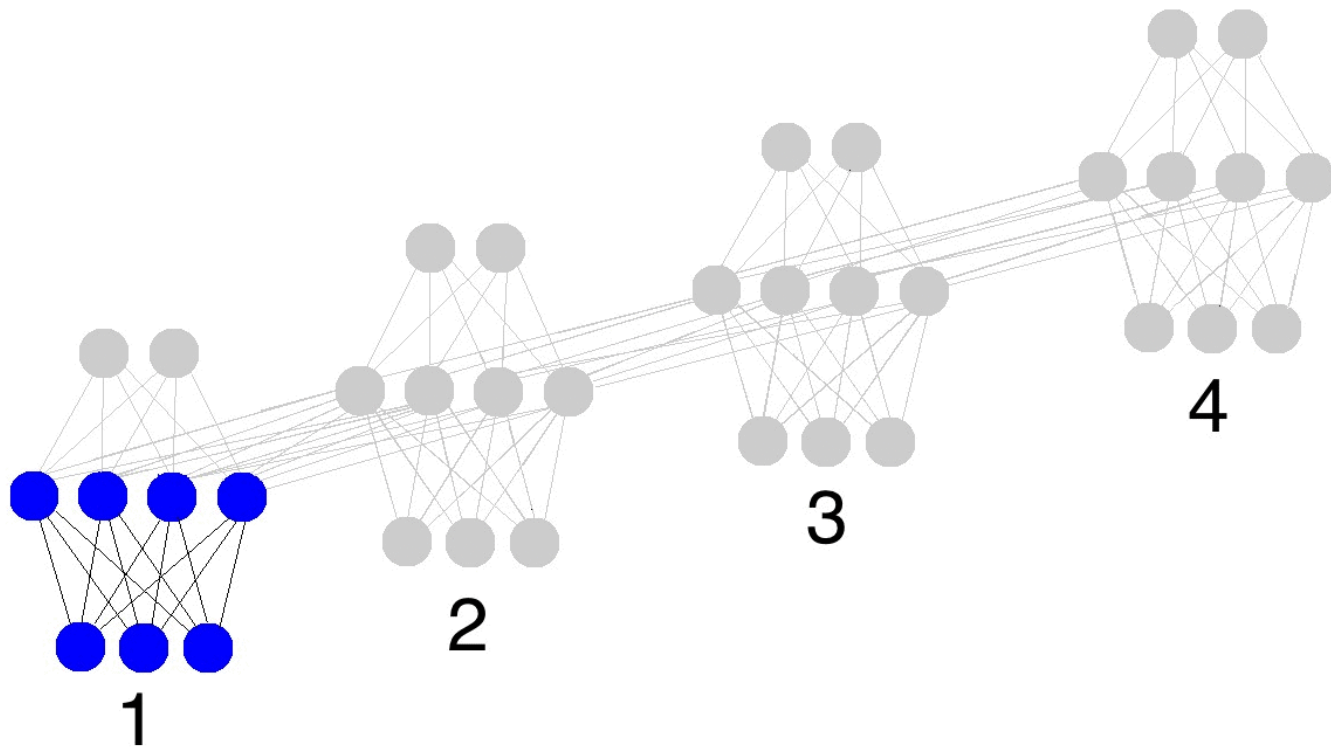
$\mathbf{s}^{(t)}$ = estado en tiempo t

Redes neuronales recurrentes

- Una salida en cada paso y conexiones recurrentes en la capa oculta



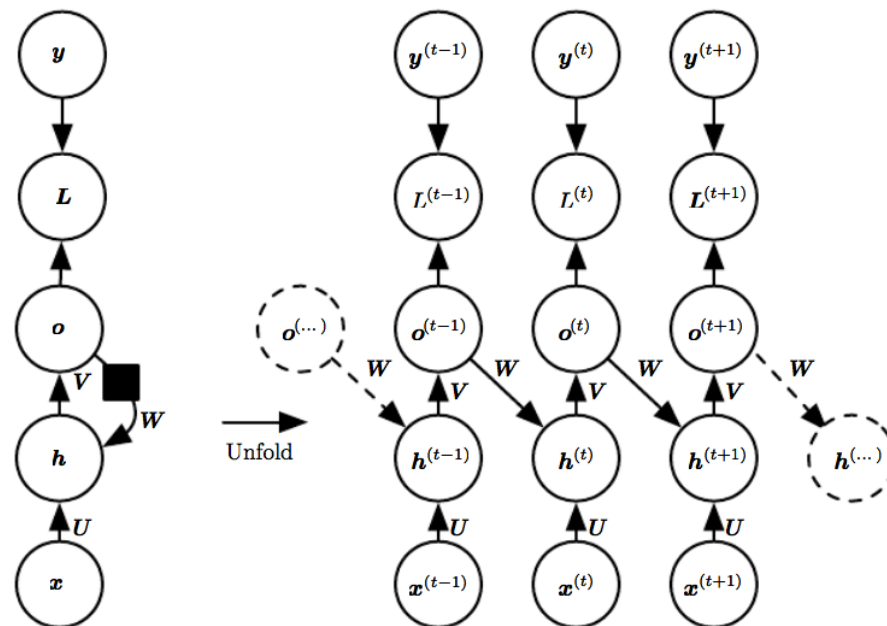
Redes neuronales recurrentes



MakeAGIF.com

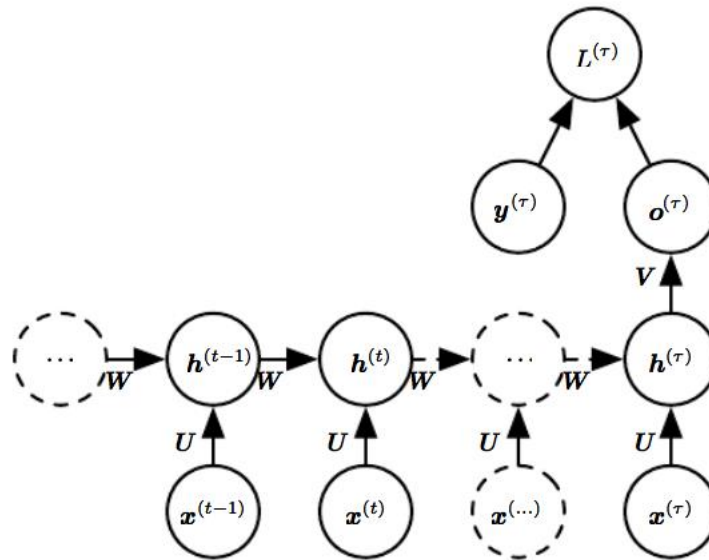
Redes neuronales recurrentes

- Una salida en cada paso y conexiones recurrentes de la salida en el tiempo t a la capa oculta en el tiempo $t+1$



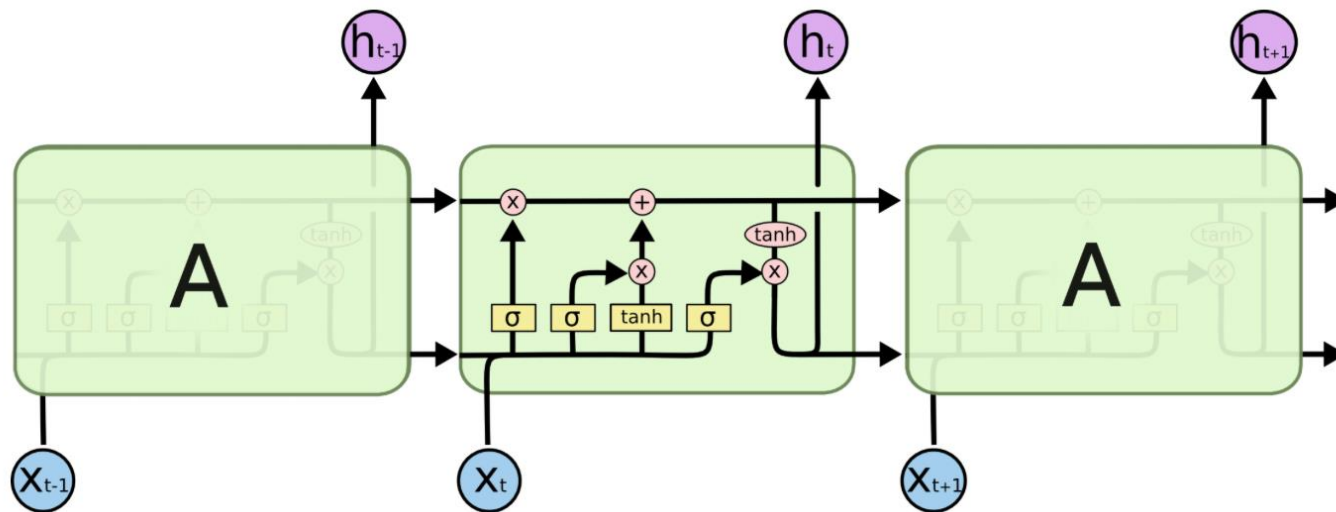
Redes neuronales recurrentes

- Una salida al final de la secuencia y conexiones recurrentes en la capa oculta



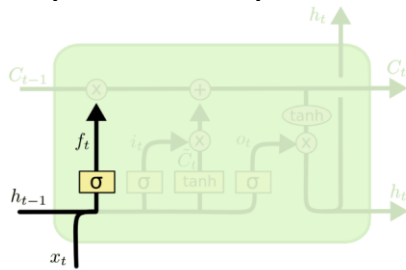
Long Short Term Memory (LSTM)

- Un tipo de red neuronal recurrente capaz de aprender dependencia de largo plazo



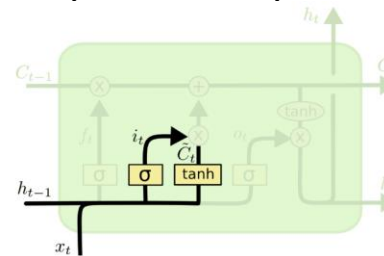
Long Short Term Memory (LSTM)

Capa de compuertas para olvidar



$$f_t = \sigma(W_f \cdot [h_{t-1}, x_t] + b_f)$$

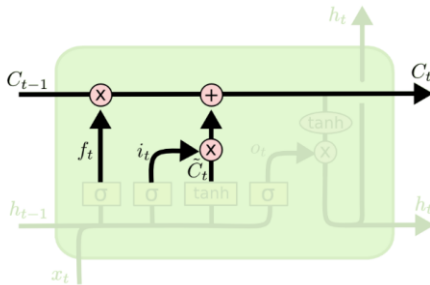
Capa de compuertas de entrada



$$i_t = \sigma(W_i \cdot [h_{t-1}, x_t] + b_i)$$

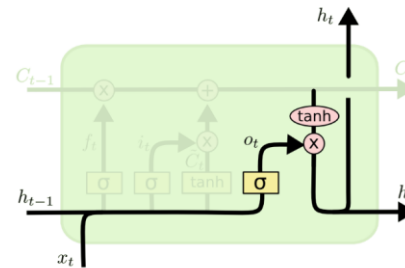
$$\tilde{C}_t = \tanh(W_C \cdot [h_{t-1}, x_t] + b_C)$$

Cálculo del estado de la celda



$$C_t = f_t * C_{t-1} + i_t * \tilde{C}_t$$

Cálculo de la salida



$$o_t = \sigma(W_o [h_{t-1}, x_t] + b_o)$$

$$h_t = o_t * \tanh(C_t)$$

TensorFlow

- TensorFlow es una biblioteca de software de código abierto para el cálculo numérico usando diagramas de flujo de datos.
- Desarrollada originalmente por Google Brain para conducir investigaciones de aprendizaje máquina y, en específico, deep neural networks.



Instalación de TensorFlow

- `pip install --upgrade pip`
- `pip install tensorflow==1.13.1`

Regresión Softmax

```
from tensorflow.examples.tutorials.mnist import input_data

import tensorflow as tf
mnist = input_data.read_data_sets("MNIST_data/", one_hot=True)
#mnist.train.images
#mnist.train.labels

x = tf.placeholder(tf.float32, [None, 784])
W = tf.Variable(tf.zeros([784, 10]))
b = tf.Variable(tf.zeros([10]))

y = tf.nn.softmax(tf.matmul(x, W) + b)
y_ = tf.placeholder(tf.float32, [None, 10])
```


Keras

- Keras es una biblioteca de redes neuronales minimalista, altamente modular, escrita en Python capaz de ejecutarse en utilizando TensorFlow o Theano.
- Fue desarrollado con el objetivo de facilitar la experimentación rápida.
 - Ser capaz de ir de la idea al resultado con el menor retraso posible es clave para hacer una buena investigación
- `pip install keras`



Word Embedding

- Método de aprendizaje no supervisado que transforma un conjunto de palabras en vectores de altas dimensiones
- Basado en el modelo distribucional
 - Palabras que aparecen en los mismos contextos comparten significado semántico
- Los vectores tiene la propiedad de que conceptos similares se agrupan

Similitud entre Hombre y Mujer: 0.74
- Se pueden realizar operaciones entre los vectores

$\text{Rey} - \text{Hombre} + \text{Mujer} = \text{Reina}$

IMDB corpus

- 25,000 opiniones de películas de IMDB etiquetadas con su sentimiento asociado (positivo con calificación ≥ 7 / negativo con calificación ≤ 4).
- Cada revisión se codifica como una secuencia de índices de palabras (enteros).
- Por conveniencia, las palabras son indexados por frecuencia global en el conjunto de datos.
 - Se puede filtrar la información rápidamente